

01, 05.1

© 1990

## САМООРГАНИЗАЦИЯ И ДИССИПАТИВНЫЕ СТРУКТУРЫ В ДЕФОРМИРУЕМОМ ТЕЛЕ

А.С. Б а л а н к и н

Поведение деформируемого тела, испытывающего механическое воздействие, определяется процессами образования и эволюции диссипативных структур (ДС), обеспечивающих оптимальный режим диссипации энергии, поступающей извне [1-4]. Замечательной особенностью ДС, формируемых в деформируемом теле, является существование универсальной иерархии пространственных масштабов (структурных уровней), что находит отражение, например, в иерархии линейных размеров: зон локализации деформации [3, 4], трещин [1, 4], блоков отдельностей [5] и т.п. Обсуждались различные механизмы структуризации деформируемого тела [1-5], однако единой точки зрения на природу этого эффекта сегодня нет.

На наш взгляд, в основе иерархического строения ДС лежит фундаментальное свойство твердого тела – его сдвиговая устойчивость, обуславливающая различие характерных пространственных масштабов областей локализации и диссипации энергии, заканчивающейся в деформируемое тело при внешнем воздействии (аналогично можно объяснить и строение турбулентных структур в вязких жидкостях, обладающих сдвиговой жесткостью на мезоскопических расстояниях  $\sim \sqrt{\nu \tau_\eta}$ , где  $\nu$  – вязкость и время релаксации сдвиговых напряжений в жидкости).

Явление кумуляции поступающей извне энергии в локализованных областях, в свою очередь, обусловлено различием времен релаксации энергии ( $\tau_\varepsilon$ ) и импульса ( $\tau_p$ ) атомов деформируемого тела, выводимых внешним воздействием из состояния равновесия. На основании анализа, проведенного в [6], имеем

$$\tau_p \approx \frac{a}{c_t} \ll \tau_\varepsilon \approx \frac{a}{c_a} = \tau_p \frac{c_t}{c_a} = \tau_p \Lambda_o, \quad (1)$$

где  $c_t$  – скорость поперечных волн деформации (для жидкостей  $c_t = \sqrt{\nu/\tau_\eta}$  [7]),  $c_a = \frac{h}{2ma}$ ,  $m$  и  $a$  – масса атома и межатомное расстояние,  $h$  – постоянная Планка. Поэтому уже при сравнительно малых нагрузках  $b > b_{kp} = 0.5 \rho c_a^2 \sim 1$  МПа происходит образование локализованных сильннеравновесных областей. Поскольку накопление энергии идет как за счет объемных, так и сдвиговых упругих деформаций, то характерный размер областей локализации заканчивающей энергией  $L_l \sim (B + \frac{4}{3}G) = \rho c_l^2$

( $B$  и  $G$  – модули объемной деформации и сдвига,  $\rho$  – плотность,  $C_s$  – скорость продольного звука). В то же время за эффект диссипации энергии в деформируемом теле, как показано в [8], ответственны только сдвиговые напряжения. Поэтому характерный масштаб областей, в которых рассеивается избыточная энергия, пропорционален  $L_s \sim G = \rho C_s^2$ , а для отношения пространственных масштабов ДС соседних структурных уровней получаем соотношение

$$\frac{L_{i+1}^{ac}}{L_i^{ac}} = \frac{L_1}{L_s} = \frac{C_s^2}{C_t^2} = \frac{2(1-\varphi)}{1-2\varphi} = \Lambda_1. \quad (2)$$

Так как возможные значения коэффициента Пуассона твердых тел лежат в пределах  $0.165 \leq \varphi \leq 0.475$  [9], то величина  $\Lambda_1$  может изменяться от 2.5 до 30, причем характерному для подавляющего большинства природных материалов значению  $\varphi = 0.3$  (см. [10]) соответствует  $\Lambda_1 = 3.5$ , что согласуется с эмпирически установленным (см. [5]) интервалом изменения  $L_{i+1}^{ac}/L_i^{ac}$  с наиболее вероятным значением, равным 3.5.

Соотношение (2), очевидно, характеризует автомодельные режимы деформации и разрушения твердого тела, наблюдаемые (при определенных условиях) экспериментально [3–5]. Однако существование, даже в упругоизотропных телах, не менее трех независимых масштабов длины:

$$l_\rho = a, \quad l_\varepsilon = \alpha \Lambda_0, \quad l_1 = l_\varepsilon \Lambda_1, \quad (3)$$

обуславливает сложную динамику процессов самоорганизации ДС и, в частности, возможность формирования несоразмерных ДС, обладающих новым набором независимых масштабов длины, получаемых в результате динамического перемешивания (см. [11]) исходных,

$$l_{i+1} = \left\{ \frac{\Lambda_0}{\Lambda_1} l_i \right\}, \quad \frac{\Lambda_0}{\Lambda_1} > 1, \quad (4)$$

где скобки означают дробную часть аргумента.

Формирование несоразмерных ДС возможно как в результате кинетических фазовых переходов (КФП) – при изменении параметров воздействия, так и в результате рассмотренных в [12] масштабных ФП – при увеличении размеров деформируемого тела. Образование несоразмерной ДС, очевидно, должно сопровождаться переходом к другому автомодельному, или не автомодельному, режиму деформации (разрушения) твердого тела. Это обстоятельство необходимо учитывать при моделировании на образцах меньших размеров. Такое моделирование осложняется еще и тем, что отражением иерархической структуры ДС является существование спект-

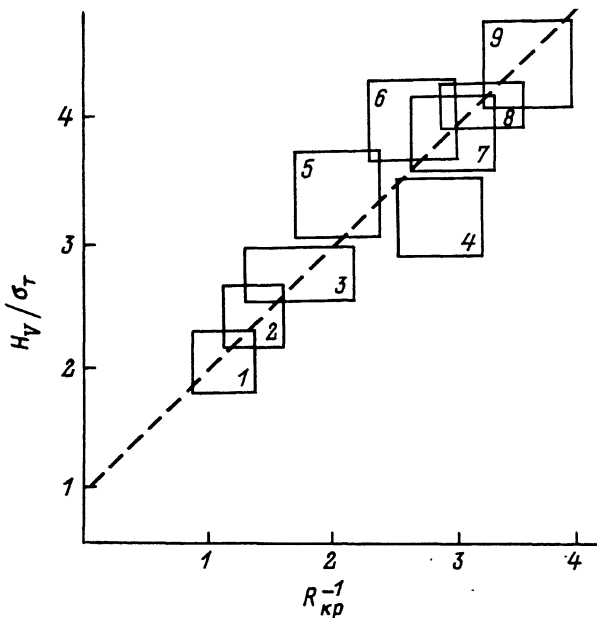


Рис. 1. Зависимость отношения  $H_V/\sigma_T$  от  $2R_{kp}^{-1}$ . 1 - Nb, 2 - V, 3 - Al, 4 - Ti, 5 - Cu, 6 - Ag, 7 - Pb, 8 - Mo, 9 - W. Пунктирная линия - расчет по (7), экспериментальные данные взяты из [17, 18].

ра эффективной вязкости твердого деформируемого тела. Следуя [13], легко видеть, что

$$\frac{\nu_{\text{эфф}}^i}{\nu_{\text{эфф}}^j} = \frac{L_i^{AC}}{L_j^{AC}}. \quad (5)$$

Спектр (5), определяемый соотношениями (2) и (4), позволяет понять расхождение более чем на 5 порядков значений  $\nu_{\text{эфф}}$ , полученных авторами [14-16] при одинаковых (по крайней мере достаточно близких) скоростях деформации, но разными методами.

Если, следуя [1-4], рассматривать разрушение как КФП, то тип формируемой ДС, определяемый видом решения обобщенных уравнений Гинзбурга-Ландау [12], принципиально различен при  $R_{kp} < \frac{1}{\sqrt{2}}$  и  $R_{kp} > \frac{1}{\sqrt{2}}$ , где параметр (аналог параметра Гинзбурга-Ландау для сверхпроводников [6])

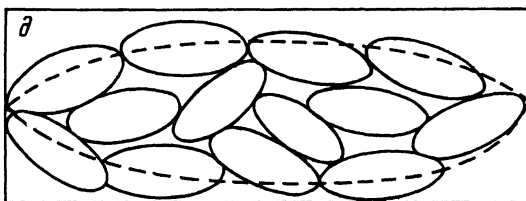
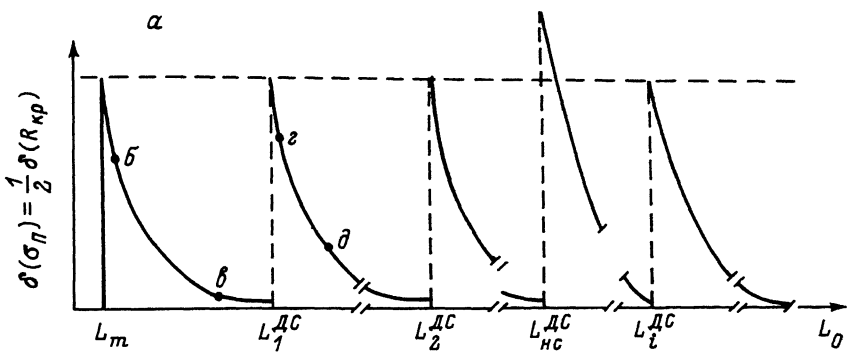
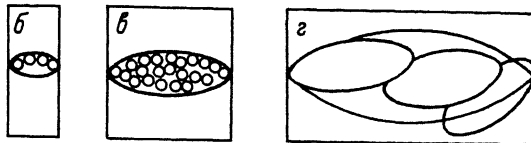


Рис. 2. Зависимость дисперсии  $\sigma_\eta$  и  $R_{kp}$  от характерного размера  $L_0$  деформируемого тела (а). На врезках (б-д) показаны картины формирования магистральной трещины в образцах с характерными размерами  $L_i$ , отмеченными на графике точками (б-д).

$$R_{kp} = \frac{\sigma_\eta}{\sqrt{2} \tau_\eta}. \quad (6)$$

Здесь  $\tau_\eta$  и  $\sigma_\eta$  – сопротивление материала сдвигу и на отрыв. Разрушение будет хрупким, если  $R_{kp} < \frac{1}{\sqrt{2}}$ , вязким при  $R_{kp} > 1$ , и вязкохрупким в случае  $R_{kp} > \frac{1}{\sqrt{2}}$ . В общем случае  $R_{kp}$  зависит как от скорости нагружения и величины нагрузки, так и от вида напряженного состояния (в случае достаточно высоких скоростей деформации  $R_{kp}$ , естественно, совпадает с определенным ранее [2, 6] параметром  $R_{kp}$ ).

Для простых схем квазистатического нагружения значение  $R_{kp}$  может быть найдено через отношение предела текучести ( $\sigma_T$ ) и

тврдости по Виккерсу ( $H_V$ ). Так как  $\delta_T$  характеризует начальную стадию пластической деформации, т.е. сопротивление ламинарному течению дислокаций, а  $H_V$  – сопротивление большим пластическим деформациям, связанным с ротационными эффектами, то по аналогии с [2, 6] получаем

$$H_V = (1 + 2R_{kp}^{-1}) \delta_T, \quad (7)$$

откуда, учитывая, что для металлов  $R_{kp} \sim 1$ , следует эмпирическое соотношение  $H_V \approx 3\delta$  [17]. Более подробное сравнение расчетов по (7) с экспериментальными данными, взятыми из [17, 18], показано на рис. 1.

Заключительная стадия квазистатического разрушения твердого тела по сути является перколоционным процессом кластеризации трещин предразрушающего уровня, приводящим к образованию магистральной трещины, разделяющей тело на части. Одним из фундаментальных свойств процессов перколоции является универсальная зависимость порога протекания (определенного  $\delta_p$ ) от числа разыгрываемых узлов (трещин):  $\delta(\delta_p^2) \sim N^{-\frac{1}{2D_f\alpha}}$ , где  $0.9 \leq \alpha \leq 1.3$  [19, 20]. Учитывая иерархическую структуру ансамбля трещин, легко видеть, что

$$\delta(\delta_p) = \frac{\sqrt{\delta(\delta_p^2)}}{\delta_p} \sim (N_{k-1})^{-\frac{1}{2D_f\alpha}} = \left( \frac{L_o^{ac}}{L_o} \right)^{\frac{1}{2\alpha}} \sim 0.5\delta(R_{kp}), \quad (8)$$

где  $L_o$  – размер образца, а фрактальная размерность ансамбля трещин (учитывая, что энергия, выделяемая при раскрытии трещины  $\sim \frac{\delta_p^2 L_{tp}^3}{E}$  [1], где  $E$  – модуль Юнга) определяется соотношением

$$2 < D_f = \frac{E}{G} = 2(1 + \varphi) < 3. \quad (9)$$

Следствием (8), очевидно, должен явиться эффект осцилляции дисперсии прочности при увеличении  $L_o$  (рис. 2), отражающий иерархию структурных уровней. По нашему мнению, именно этот эффект ответственен за непредсказуемые катастрофические разрушения крупногабаритных объектов (например, трубопроводов [21, 22]). Данное объяснение катастроф, в отличие от предложенных авторами [21, 22], позволяет понять тот факт, что лишь незначительная часть абсолютно одинаковых конструкций из пластичных материалов оказывается способной к хрупкому разрушению. А именно, вследствие сильной дисперсии  $R_{kp}$  для изделий „опасных размеров”  $L_o \sim L_{k-1}^{ac}$ , (см. рис. 2), при одних и тех же условиях нагружения  $R_{kp}$  может оказаться как больше, так и меньше  $\frac{1}{\sqrt{2}}$ . В последнем случае и возможно непредсказуемое катастрофическое

разрушение. Подчеркнем, что в противоположность выводам [21, 22], из настоящего рассмотрения следует, что уход от „опасных размеров“ возможен не только путем уменьшения  $L_o$ , или предусмотрения большего запаса прочности, но и путем увеличения  $L_o$ .

Еще одним следствием иерархии масштабов ДС, задаваемой соотношением (2), является закон повторяемости землетрясений. Так как энергия ( $E_i$ ), выделяемая при землетрясении в результате образования трещины размером  $\sim L_i^{AC}$ , пропорциональна  $\frac{\sigma_n^2 (L_i^{AC})^3}{E}$  [1], то в случае автомодельного режима трещинообразования, отношение числа землетрясений, обусловленных образованием трещин ( $i-1$ ) уровня, к числу землетрясений, связанных с трещинами следующего уровня, в фиксированном районе равно

$$\frac{n_o}{N_i} = \frac{N_{i-1}}{N_i} \sim \left( \frac{L_i^{AC}}{D_{i-1}} \right)^{D_f} = \left( \frac{L_i^{AC}}{L_{i-1}^{AC}} \cdot \frac{L_{i-1}^{AC}}{D_{i-1}} \right)^{D_f} = \left( \frac{A_i}{D_c} \right)^{D_f} \sim \left( \frac{E_i}{E_{i-1}} \right)^{\frac{D_f}{3}}, \quad (10)$$

что, очевидно, эквивалентно эмпирическому соотношению Гутенберга-Рихтера:  $\ln N = A - r \ln D$  [5] с

$$0.4 \leq r = \frac{\ln n_o}{3 \ln A_i} = \frac{D_f}{3} \left( 1 - \frac{\ln D_c}{\ln A_i} \right) = \frac{2(1+q)}{3} \left( 1 - \frac{\ln D_c}{\ln A_i} \right) \leq 0.6, \quad (11)$$

где  $N$  – число землетрясений в заданном районе ( $A$  – параметр сейсмоактивности),  $D_{i-1}$  – критический переколяционный радиус ( $i-1$ ) уровня,  $D_c = \frac{L_i^{AC}}{D_i} \approx 1.8$  ( $1.4 \leq D_c \leq 2.2$  [19]) – параметр, характеризующий плотность упаковки трещин ( $i-1$ ) уровня в кластере  $i$ -го уровня.

Автор выражает искреннюю благодарность Н.А. Златину, А.А. Кожушко, Г.С. Пугачёву, В.С. Ивановой, А.Д. Изотову и В.Е. Харциеву за полезные обсуждения результатов работы и ценные замечания.

#### Список литературы

- [1] Панин В.Е., Лихачёв В.А., Гриняев Ю.В. Структурные уровни деформации твердых тел. М.: Наука, 1985. 230 с.
- [2] Баланкин А.С., Любомудров А.А., Севрюков И.Т. Кинетическая теория кумулятивного бронепробивания. М.: Изд-во МО СССР, 1989. 272 с.

- [3] Синергетика и усталостное разрушение металлов. М.: Наука, 1989. 246 с.
- [4] Иванова В.С., Шанявский А.А. Количественная фрактография. Челябинск, Металлургия, 1988. 400 с.
- [5] Садовский М.А., Болохвитинов Л.Г., Писаренко В.Ф. Деформирование геофизической среды и сейсмический процесс. М.: Наука, 1987. 97 с.
- [6] Баланкин А.С. // Письма в ЖТФ. 1989. Т. 15. Вып. 22. С. 15-20.
- [7] Ландау Л.Д., Лифшиц Е.М. Теория упругости. М.: Наука, 1987. 248 с.
- [8] Архипов Р.Г. // ЖЭТФ. 1987. Т. 92. № 3. С. 1021-1025.
- [9] Баланкин А.С. // ФНТ. 1988. Т. 14. № 4. С. 339-347.
- [10] Андерсон О. В кн.: Динамика решетки. М.: Мир, 1968. С. 52-121.
- [11] Заславский Г.М., Сагдееv Р.З. Введение в нелинейную физику. М.: Наука, 1988. 368 с.
- [12] Баланкин А.С., Любомудров А.А., Севрюков И.Т. // ЖТФ. 1989. Т. 59. Вып. 12. С. 102-105.
- [13] Климонтович Ю.Л. // Письма в ЖТФ. 1981. Т. 7. Вып. 19. С. 1181-1184.
- [14] Козлов В.С. // Проблемы прочности. 1986. № 3. С. 47-52.
- [15] Степанов Г.В., Харченко В.В. // Проблемы прочности. 1985. № 8. С. 59-64.
- [16] Голубев В.К. // ПМТФ. 1983. № 6. С. 159-165.
- [17] Гудков А.А., Славский Ю.И. Методы измерения твердости металлов и сплавов. М.: Металлургия, 1982. 168 с.
- [18] Прочность тугоплавких металлов. М.: Металлургия, 1970. 368 с.
- [19] Челидзе Т.Л. // Изв. АН СССР. МТТ. 1983. № 6. С. 114-123.
- [20] Соколов И.М. // УФН. 1986. Т. 150. № 2. С. 221-255.
- [21] Иванов А.Г. // ДАН СССР. 1985. Т. 285. № 2. С. 357-360.
- [22] Черепанов Г.П. // ДАН СССР. 1983. Т. 272. № 3. С. 590-593.

Поступило в Редакцию  
27 июня 1989 г.  
В окончательной редакции  
10 ноября 1989 г.